

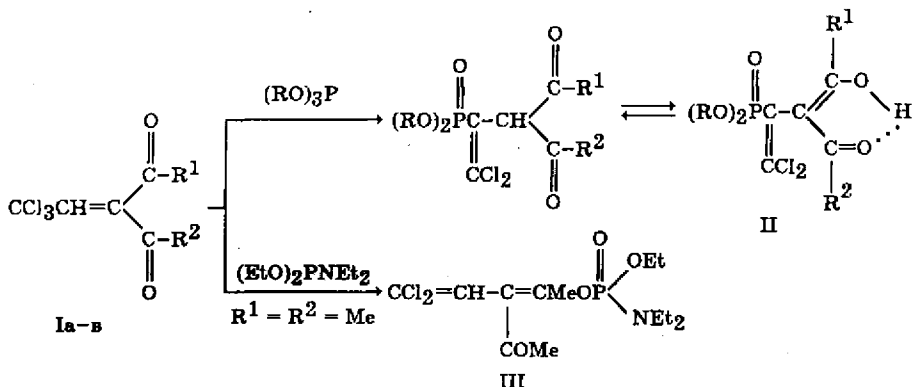
## СИНТЕЗ БУТАДИЕНИЛФОСФАТОВ ПРИ ФОСФОРИЛИРОВАНИИ ТРИХЛОРЕТИЛИДЕНОВЫХ ПРОИЗВОДНЫХ $\beta$ -ДИКАРБОНИЛЬНЫХ СОЕДИНЕНИЙ

© Д. М. Маленко, Н. В. Симурова, А. Д. Синица

УДК 547.341

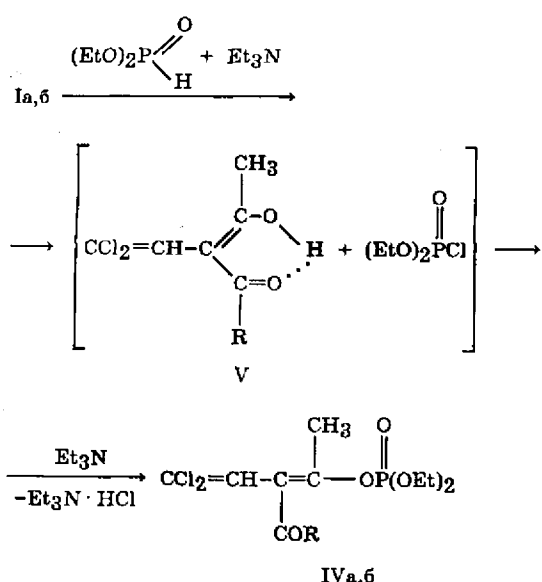
Известно, что трихлорэтилиденовые производные  $\beta$ -дикарбонильных соединений (Ia–b) реагируют с триалкилфосфитами [1] с образованием продуктов С-fosфорилирования — винилфосфонатов (II).

Нами найдено, что с повышением нуклеофильности атома фосфора регионарность реакции изменяется. Так, при введении диэтиламинофосфита в реакцию с трихлорэтилиденакетоном (Ia) образуется продукт О-фосфорилирования — дихлорбутадиенилфосфат (III).



I,  $R^1 = Me$ ,  $R^2 = Me$  (a);  $R^1 = Me$ ,  $R^2 = OEt$  (b);  $R^1 = R^2 = OEt$  (в).

Образование бутадиенилфосфатов (IVa,b) является результатом взаимодействия производных ацетилацетона (Ia) и ацетоуксусного эфира (Ib) с диэтилфосфитанионом, генерируемым из диэтилфосфита в присутствии триэтиламина. Приведенная схема является, по-видимому, новым вариантом реакции Тодда—Атертона.



$R = Me$  (a),  $OEt$  (b).

Вероятно, на промежуточной стадии реакции в результате галогенофильной атаки образуются енол (V) и хлорфосфат, взаимодействие которых и приводит к бутадиенилфосфатам (IVa,b). Согласно данным ЯМР, данное превращение сопровождается образованием 5–10% тетраэтиллирофосфата.

Состав и строение полученных соединений подтверждается данными ЯМР  $^1H$ ,  $^{31}P$  и ИК спектроскопии. В спектрах ЯМР  $^1H$  бутадиенилфосфатов содержатся характерные сигналы протона у кратной связи в области 6.61 (IVa), 6.63 (Va) и 6.48 м. д. (IVb), а сигналы ядер фосфора находятся в обычной для винилфосфатов области: 4.2 (III), –6.9 (IVa) и –6.9 м. д. (IVb).

О-Этил-O-(1-метил-2-ацетил-4,4-дихлор-1,3-бутадиен-1-ил)диэтиламинофосфат (III). К 0.1 моля трихлорэтилиденакетона (Ia) при охлаждении до 5–10°C и перемешивании по каплям прибавляли 0.1 моля (O,O-диэтил)(N,N-диэтил)аминофосфита. Реакционную смесь выдерживали 16 ч при комнатной температуре, продукт выделяли перегонкой в вакууме. Выход 55%, т. кип. 136–137°C (0.5 мм рт. ст.). ИК спектр,  $\nu$ ,  $cm^{-1}$ : 1630, 1730 ( $C=C=O$ ). Спектр ЯМР  $^1H$ ,  $\delta$ , м. д.: 1.08 т (6Н,

$\text{CH}_3\text{CH}_2\text{N}$ ), 1.29 т (3Н,  $\text{CH}_3\text{CH}_2\text{O}$ ), 2.19 с (3Н,  $\text{CH}_3\text{C=O}$ ), 2.31 с (3Н,  $\text{CH}_3\text{C=}$ ), 3.07 м (4Н,  $\text{CH}_3\text{CH}_2\text{N}$ ), 4.02 м (2Н,  $\text{CH}_3\text{CH}_2\text{O}$ ), 6.61 с (1Н,  $\text{CH}=$ ). Спектр ЯМР  $^{31}\text{P}$ :  $\delta_{\text{P}}$  4.2 м. д. Найдено, %: Cl 19.89; N 3.91; P 8.83.  $\text{C}_{13}\text{H}_{22}\text{Cl}_2\text{NO}_4\text{P}$ . Вычислено, %: Cl 19.80; N 3.91; P 8.65.

**O,O-Диэтил-O-(1-метил-2-ацетил-4,4-дихлор-1,3-бутадиен-1-ил)fosфат (IVa).** К 0.1 моля трихлорэтилиденациетилацетона (Ia) при охлаждении до 0–5°C и перемешивании по каплям прибавляли смесь 0.1 моля диэтилfosфита и 0.1 моля триэтиламина. Реакционную смесь выдерживали в этих условиях 2 ч, затем 16 ч при комнатной температуре, разбавляли диэтиловым эфиrom, солянокислый триэтиламин отфильтровывали, растворитель удаляли в вакууме, а остаток фракционировали. Выход 60%, т. кип. 118–119°C (0.05 мм рт. ст.),  $n_D^{20}$  1.4801. ИК спектр,  $\nu$ ,  $\text{cm}^{-1}$ : 1605, 1645, 1730 ( $\text{C=C-C=O}$ ). Спектр ЯМР  $^1\text{H}$ ,  $\delta$ , м. д.: 1.32 т (6Н,  $\text{CH}_3\text{CH}_2\text{O}$ ), 2.19 с (3Н,  $\text{CH}_3\text{C=O}$ ), 2.39 с ( $\text{CH}_3\text{—C=}$ ), 4.14 м (4Н,  $\text{CH}_3\text{CH}_2\text{O}$ ), 6.63 с (1Н,  $\text{CH}=$ ). Спектр ЯМР  $^{31}\text{P}$ :  $\delta_{\text{P}}$  –6.9 м. д. Найдено, %: Cl 11.29; P 9.12.  $\text{C}_{12}\text{H}_{18}\text{ClO}_6\text{P}$ . Вычислено, %: Cl 10.92; P 9.54.

**O,O-Диэтил-O-(1-метил-2-этоксикарбонил-4,4-дихлор-1,3-бутадиен-1-ил)fosфат (IVб)** по-

лучен аналогично fosфату (IVa) при взаимодействии трихлорэтилиденациетоуксусного эфира (Iб) с диэтилfosфитом. Выход 65%, т. кип. 129–130°C (0.06 мм рт. ст.),  $n_D^{20}$  1.4794. ИК спектр,  $\nu$ ,  $\text{cm}^{-1}$ : 1605, 1645, 1730 ( $\text{C=C-C=O}$ ). Спектр ЯМР  $^1\text{H}$ ,  $\delta$ , м. д.: 1.25 т (3Н,  $\text{CH}_3\text{CH}_2\text{O}$ ), 1.32 т (6Н,  $\text{CH}_3\text{CH}_2\text{O}$ ), 2.39 с (3Н,  $\text{CH}_3\text{C=}$ ), 4.14 м (6Н,  $\text{CH}_3\text{CH}_2\text{O}$ ), 6.48 с (1Н,  $\text{CH}=$ ). Спектр ЯМР  $^{31}\text{P}$ :  $\delta_{\text{P}}$  –6.9 м. д. Найдено, %: Cl 21.29; P 9.92.  $\text{C}_{12}\text{H}_{19}\text{Cl}_2\text{O}_6\text{P}$ . Вычислено, %: Cl 21.54; P 9.41.

ИК спектры измерены на приборе UR-20 (тонкий слой). Спектры ЯМР  $^1\text{H}$  получены на спектрометре Varian Gemini-200 с рабочей частотой 200 МГц в растворе  $\text{CDCl}_3$ , внутренний стандарт — ГМДС. Спектры ЯМР  $^{31}\text{P}$  записаны на приборе Bruker WP-200 с рабочей частотой 80.026 МГц в растворе  $\text{CCl}_4$ , внешний стандарт — 85%-ная  $\text{H}_3\text{PO}_4$ .

### Список литературы

- [1] Маленко Д.М., Симуров Н.В., Синица А.Д. // ЖОХ. 1988. Т. 58. Вып. 8. С. 1921–1923; Симурова Н.В., Маленко Д.М., Тихонов В.П., Синица А.Д. // ЖОХ. 1997. Т. 67. Вып. 5. С. 743–748.